

*Н. Н. МОСКОВЧЕНКО, к. т. н. А. М. СВЕТЛИЧНЫЙ*

Россия, Таганрогский гос. радиотехнический университет  
E-mail: n\_moskovchenko@mail.ru

Дата поступления в редакцию  
05.09.2005 г. — 26.04.2006 г.

Оппонент к. т. н. Ю. В. ОСТРОВСКИЙ  
(НИИ "Украналит", г. Киев)

## ГАЗОАНАЛИЗАТОРЫ НА ОСНОВЕ ПОРИСТОГО КАРБИДА КРЕМНИЯ

*Рассмотрены различные конструкции газоанализаторов на основе пористого карбида кремния. Показана перспективность использования этого материала в качестве активного слоя сенсоров.*

В последние десятилетия в связи с развитием промышленности экологический мониторинг стал неотъемлемой частью средств сохранения среды обитания. Его развитие невозможно без разработки все новых датчиков различных неэлектрических величин и, в том числе, датчиков состава газов.

Начало практическому использованию эффекта влияния газов на электрические свойства поверхности полупроводников положил в 1960-х годах Н. Тагучи. На основе керамического  $\text{SnO}_2$  он изготовил газочувствительное устройство, электросопротивление которого изменялось пропорционально концентрации некоторых газов в воздухе, и запатентовал его [1]. Прибор позволял контролировать содержание в воздухе  $\text{H}_2$ ,  $\text{CO}$ ,  $\text{CH}_4$  и др. Японская компания «Figaro» до сих пор ежегодно выпускает миллионы таких датчиков, и они широко применяются, например, в системах предупреждения взрывов при работах с природным газом. Главное их достоинство — возможность многократного использования (после десорбции газа при повышенной температуре).

Позже было установлено, что практически все окислы металлов, являющиеся полупроводниками, обладают газовой чувствительностью. В настоящее время изготавливают датчики газов на основе  $\text{SnO}_2$ ,  $\text{ZnO}$ ,  $\text{NiO}$ ,  $\text{CuO}$ ,  $\text{TiO}_2$ ,  $\text{ZrO}_2$ ,  $\text{Y}_2\text{O}_3$ ,  $\text{WO}_3$  и других окислов [2]. Принцип их действия основан на том, что в результате физической адсорбции молекул газа на поверхности полупроводника его поверхностное сопротивление изменяется пропорционально числу адсорбированных молекул (или концентрации газа в воздухе) [3].

Повышенный в последнее время интерес к полупроводниковому карбиду кремния вообще и к созданию газочувствительных датчиков на его основе, в частности, не случаен. Недостатком кремниевых газочувствительных структур являлась низкая селективность, дрейф параметров и неширокий диапазон рабочих температур. Использование карбида кремния позволяет уменьшить или устраниć эти недостатки. Это связано со свойствами структуры карбида кремния и его электрофизическими параметрами [4—6].

В процессах адсорбции и десорбции газов участвуют приповерхностные слои микрокристаллов, поэтому чем больше отношение поверхности кристаллов к их объему, тем эффективнее работа датчика, тем выше его чувствительность к газам. Наличие развитой поверхности за счет пор в пористом  $\text{SiC}$  делают его перспективным материалом для чувствительного элемента сенсоров [7].

Первые работы по исследованию газочувствительности пористого  $\text{SiC}$  были проведены в California Institute of Technology (США). Датчик был изготовлен на основе  $6\text{H}-\text{SiC}$  и работал в температурном диапазоне 100—400°C [8]. Принцип работы датчика основывался на разложении адсорбированных углеводородов в слое пористого  $\text{SiC}$  и изменении потенциального барьера контакта "пористый  $\text{SiC}$ —металл". Диссоциация газовых молекул происходит при приложении определенного для каждого газа напряжения к электродам, что позволяет проводить идентификацию газов. При этом ток через датчик пропорционален концентрации газа, а использование  $\text{SiC}$  позволяет сенсору функционировать при высоких температурах и повышенной радиации.

Конструкция датчика представляет собой сетчатый электрод из  $\text{Cr}$ , который получен напылением  $\text{Cr}$  на слой пористого  $\text{SiC}$ , что обеспечивает эквипотенциальный контакт и возможность диффузии молекул газа. Омический контакт из  $\text{Ni}$  выполнен на обратной стороне подложки  $6\text{H}-\text{SiC}$  (см. врезку на рис. 1).

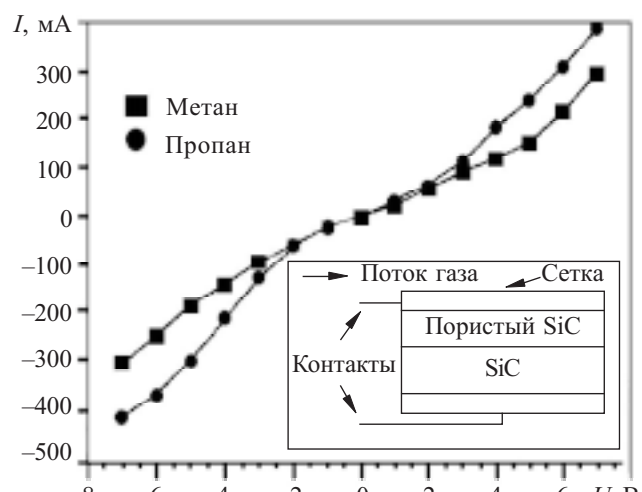


Рис. 1. ВАХ датчика при 223°C в атмосфере аргона при введении углеводородов

## ВОПРОСЫ ПРИБОРОСТРОЕНИЯ

Характеристики датчика исследовались в потоке чистого аргона при различных температурах. На рис. 1 показаны вольт-амперные характеристики (ВАХ) датчика для 223°C при введении в поток аргона метана и пропана с концентрацией 0,5%. Нелинейность ВАХ дает возможность разделения углеводородных соединений при небольшой их концентрации. Потенциалы минимальных значений второй производной тока по напряжению ( $d^2I/dU^2$ , рис. 2) являются характерными для конкретного углеводородного соединения и могут быть использованы для идентификации при анализе газовых смесей.

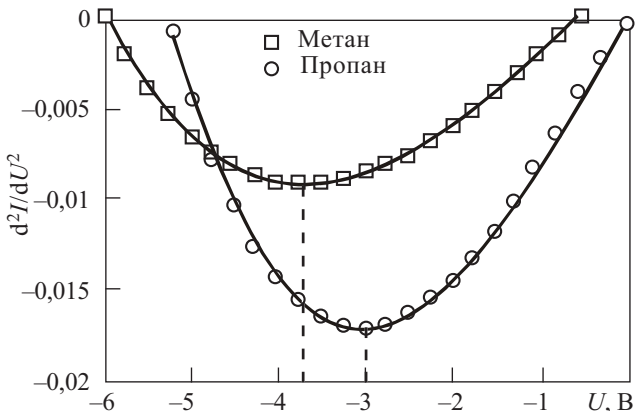


Рис. 2. Зависимость изменения второй производной тока по напряжению характеристики, представленной на рис. 1

В работе [9] было показано, что помимо метана и пропана пористый SiC необычайно чувствителен к  $\text{NH}_3$ . Здесь конструкция датчика имела следующий вид (рис. 3).

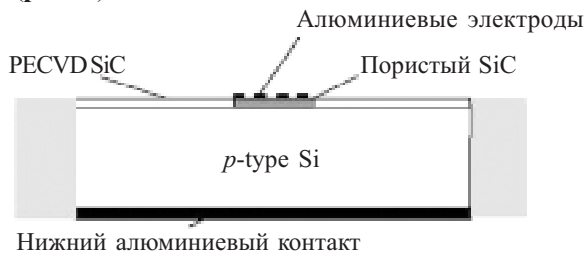


Рис. 3. Схема газоанализатора конденсаторного типа с пористым слоем SiC в качестве активного элемента

Тонкая пленка (*p*-типа) SiC толщиной 5000 Å осаждалась на стандартную кремниевую подложку методом плазменного осаждения из газовой фазы (PECVD) и легировалась бором. Затем электрохимическим травлением/анодированием в 73%-ном растворе HF при плотности тока анодирования от 1—50  $\text{mA}/\text{cm}^2$  и времени травления от 30 с до 10 мин был получен пористый слой SiC с порами диаметром >100 нм. На пористый слой и на обратную сторону подложки были нанесены алюминиевые электроды. В поток несущего газа добавлялись небольшие количества аммиака, концентрация которого изменялась последовательно от 0,5 до 9,5  $\text{млн}^{-1}$ . На рис. 4 показан отклик сенсора к аммиаку в потоке азота. Отсутствие гистерезиса позволяет говорить о том, что сенсор чувствителен к концентрации  $\text{NH}_3$  много меньше 0,5  $\text{млн}^{-1}$ . Механизм газовой чувствительности, по всей вероятности, следующий: при подаче малого напряжения на по-

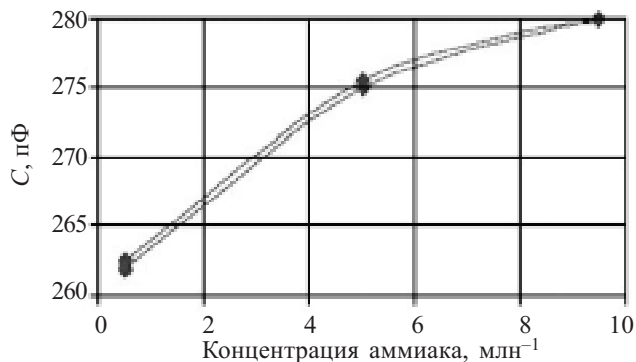


Рис. 4. Отклик сенсора на пленке пористого карбид кремния к аммиаку концентрацией 0,5, 5 и 9,5  $\text{млн}^{-1}$  в потоке азота верхности SiC формируется тонкий обедненный носителями заряда слой. Молекулы аммиака, проходя через этот обедненный слой, разлагаются, и атомы водорода адсорбируются на слое, изменяя его переходную емкость, что затем фиксируется измерительным прибором как изменение в общей емкости.

Газоанализатор на основе пористого SiC может быть выполнен и как полевой транзистор [10]. На рис. 5 показано сечение такого сенсора.

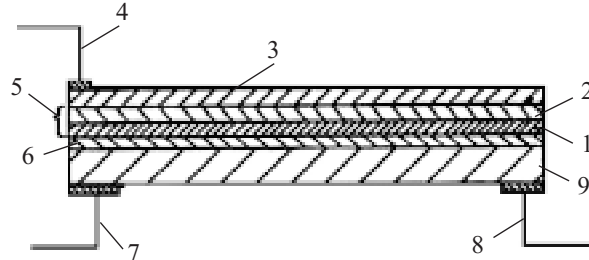


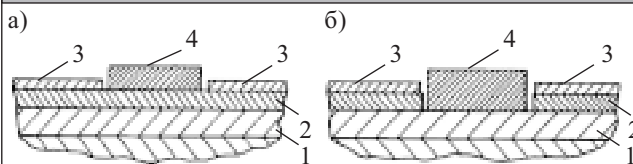
Рис. 5. Газоанализатор на пористом SiC, выполненный как полевой транзистор:

1 — подложка из гексагонального SiC; 2 — пористый слой; 3 — металлическая решетка из хрома; 4 — управляющий электрод; 5 — затвор из пористого SiC; 6 — диэлектрик из нитрида алюминия; 7, 8 — электроды истока и стока, соответственно; 9 — сильнолегированный SiC, играющий роль канала

Газы обладают разным сродством к электрону и характеризуются либо окислительными ( $\text{O}_2, \text{O}_3, \text{Cl}_2$  и др.), либо восстановительными ( $\text{H}_2, \text{CO}, \text{CH}_4, \text{C}_2\text{H}_5\text{OH}$  и др.) свойствами. Соответственно при взаимодействии газов с поверхностью пористого SiC электроны либо захватываются из приповерхностной области (окислители — акцепторы), либо передаются полупроводнику (восстановители — доноры). Поэтому взаимодействие с «донорными» газами приводит к снижению барьера для дрейфа электронов в пористом слое и к возрастанию электропроводности для SiC *n*-типа. При взаимодействии же пористого SiC с газом-окислителем его электросопротивление, наоборот, возрастает по сравнению с исходным значением, которое имелось в отсутствие контролируемого газа.

На рис. 6 показаны дополнительные модификации газоанализаторов. На рис. 6, *a* на часть пористого слоя 2 осаждается каталитический металл 4. Для этого можно использовать любой материал, проявляющий каталитические свойства к углеводородам. Это могут быть платина, ванадий, карбид молибдена, карбид вольфрама, карбид титана, карбид ниобия или палладий.

## ВОПРОСЫ ПРИБОРОСТРОЕНИЯ



На рис. 6, а пористый слой 2 стравлен перед осаждением каталитического металла. Это устраняет возможные ослабления каталитического сигнала из-за слоя пористого SiC, имеющего высокое электрическое сопротивление.

Наличие каталитического материала позволяет протекать реакциям диссоциации углеводородов без приложения напряжения к управляемому электроду, однако для этого требуется повышенная температура. Если каталитический материал нанести только на часть пористого слоя, оставив достаточно большую площадь пористого SiC для адсорбции газов, то при работе в области низких температур (100—400°C) отклик сенсора будет зависеть от приложенного напряжения. При повышенных температурах (более 500°C) сигнал будет также определяться реакциями диссоциации углеводородов в каталитическом металле.

На рис. 6, б пористый слой 2 стравлен перед осаждением каталитического металла. Это устраняет возможные ослабления каталитического сигнала из-за слоя пористого SiC, имеющего высокое электрическое сопротивление.

Для регенерации прибора и удаления продуктов реакции на сенсор подается обратное напряжение, равное максимальному напряжению диссоциации.

В проведенных нами исследованиях конструкция сенсора имела вид, представленный на рис. 7.

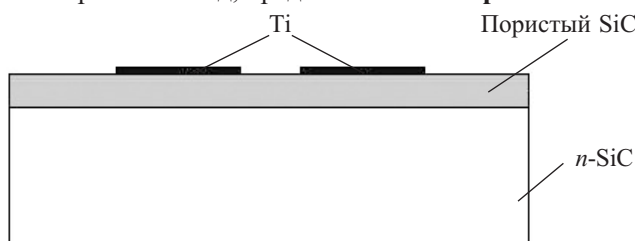


Рис. 7. Сечение сформированной структуры Ti/пористый SiC/6H-SiC

Анодирование происходило в электролите HF:C<sub>2</sub>H<sub>5</sub>OH:H<sub>2</sub>O (1:1:2) при плотности тока  $J=70\text{ mA/cm}^2$  в течение 3 мин. Были использованы пластины карбида кремния 6H-SiC  $n$ -типа, легированного азотом до концентрации  $1 \cdot 10^{17}\text{ см}^{-3}$ . После анодирования на поверхности образцов пор обнаружено не было, что объясняется наличием тонкого ( $\approx 0,1\text{ мкм}$ ) поверхностного слоя и согласуется с литературными данными. После удаления поверхностного слоя травлением в KOH (700°C, 10 мин) на поверхности образцов появляются крупные поры. Ti-контакты на поверхности пористого слоя формировались путем терморезистивного напыления и последующей фотолитографии. После нанесения контактов структура подверглась быстрому термическому отжигу в вакууме (БТО) при температуре 700°C.

На рис. 8 представлены зависимости сопротивления от температуры для образцов до и после аноди-

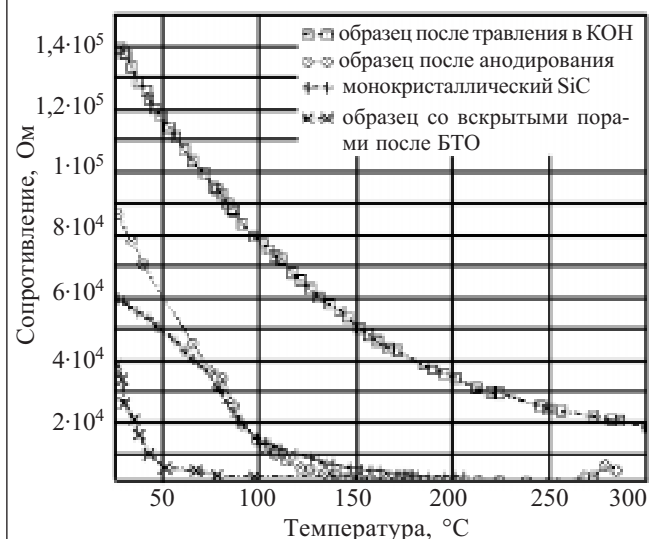


Рис. 8. Температурная зависимость сопротивления образцов 6H-SiC до и после анодирования

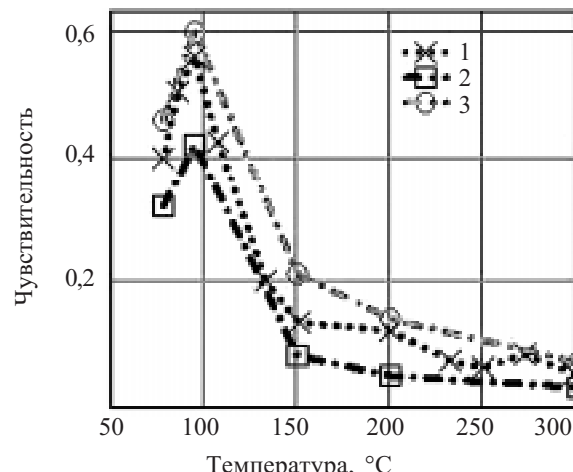


Рис. 9. Температурная зависимость чувствительности пористого SiC при разных концентрациях аммиака:  
 1 — 1000 млн<sup>-1</sup>; 2 — 500 млн<sup>-1</sup>; 3 — 2000 млн<sup>-1</sup>

дирования, а также после вскрытия пор. Увеличение сопротивления для образцов, прошедших анодирование, объясняется снижением концентрации основных носителей в пористом слое. Чувствительность сенсора определялась как  $S=(R_{\text{возд}} - R_{\text{газ}})/R_{\text{газ}}$ , где  $R_{\text{возд}}$  — сопротивление сенсорного элемента на воздухе,  $R_{\text{газ}}$  — сопротивление чувствительного слоя при наличии газа. Рабочая температура сенсора, при которой газовая чувствительность максимальна, для аммиака составила 95°C (рис. 9). Время отклика снижалось от 5 мин при температуре 78°C до 2 с при 300°C.

Регенерация сенсора проводилась нагревом структуры, время ее составляло около 30 мин при температуре 150°C и несколько секунд при температуре 300°C.

\*\*\*

Из вышеизложенного следует, что использование пористого карбида кремния в качестве газочувствительного сенсора является перспективным направле-

## ВОПРОСЫ ПРИБОРОСТРОЕНИЯ

нием развития газоанализаторов, т. к. позволяет получать высокую чувствительность, быстрое восстановление и селективность измерений в условиях экстремальных параметров окружающей среды.

### ИСПОЛЬЗОВАННЫЕ ИСТОЧНИКИ

1. Pat. 45-38200 Japan. SnO<sub>2</sub> gas sensor / Taguchi.— 1962.
2. Butta N., Cinquegrani L., Migno E. et al. A family of tin-oxide-based sensors with improved selectivity to methane // Sensors and Actuators B.— 1992.— Vol. 6.— P. 253—256.
3. Рембеза С. И. Нужен ли человечеству искусственный нос? // Природа.— 2005.— № 2.— С. 5—12.
4. Лучинин В. В., Таиров Ю. М. Карбид кремния — перспективный материал электронной техники // Изв. вузов. Электроника.— 1997.— № 1.— С. 10—37.
5. Лучинин В. В., Мальцев П. П., Маляков Е. П. Широкозонные материалы — основа экстремальной электроники будущего // Микроэлектроника.— 1999.— Т. 28, № 1.— С. 21—29.
6. Лебедев А. А., Челноков В. Е. Широкозонные полупроводники для силовой электроники // Физика и техника полупроводников.— 1999.— Т. 33, вып. 9.— С. 1096—1099.
7. Сеченов Д. А., Агеев О. А., Светличный А. М. и др. Газочувствительные датчики на основе карбида кремния.— Баку: Мутарджим, 2004.
8. Shields V. B., Ryan M. A., Williams R. M. A variable potential porous silicon carbide hydrocarbon gas sensor // Inst. Phys. Conf. Ser.— 1996.— N 142.— P. 1067—1070.
9. Connolly E. J., Timmer B., Pham H. T. M. et al. A new ammonia sensor // Eurosensors XVIII.— Rome.— 2004.— P. 672—674.
10. Pat. 5698771 US. Varying potential silicon carbide gas sensor / V. B. Shields.— 1997.